

## Optimal adjustment of deep neural network parameters in Estimation of Missing Data of Vital Signs in Wireless Body Area Networks

Aboulfazl Ebrahimi<sup>1</sup>, Mahboubeh Shamsi<sup>2</sup> and Morteza Mohajel<sup>3</sup>

1. Corresponding author, MSC. Department of computer engineering, Faculty of Electrical and Computer Engineering, Qom University of technology. Email: [ebrahimi.a@qut.ac.ir](mailto:ebrahimi.a@qut.ac.ir)
2. Assistance professor, Department of computer engineering, Faculty of Electrical and Computer Engineering, Qom University of technology. Email: [shamsi@qut.ac.ir](mailto:shamsi@qut.ac.ir)
3. Assistance professor, Department of computer engineering, Faculty of Electrical and Computer Engineering, Qom University of technology. Email: [mohajel@qut.ac.ir](mailto:mohajel@qut.ac.ir)

| Article Info   | ABSTRACT  |
|--|---|
| <b>Article type:</b><br>Research Article   | In a wireless sensor network (WSN), due to various factors such as limited power, sensor transferability, hardware failure and network problems such as packet collisions, unreliable connection and unexpected damage, the amount sensed to the header or base station is not Arrives. Therefore, data loss is very common in wireless sensor networks. Loss of measured data greatly reduces WBAN accuracy. Because WBAN deals with the vital signs of the human body, network reliability is very important. To solve this problem, missing data must be estimated. In order to predict the missing values, a model for estimating lost data based on LSTM (short-term memory) neural network is presented in this paper. This model combines five vital signs as input to predict the amount lost. The results show that sgdm-LSTM is a good way to estimate the amount lost. In addition, experimental results show that the mean square root error of the estimated value is lower than other methods. This value is 4.1495 with the best network parameters. |
| <b>Article history:</b><br>Received 2023 April 6<br>Received in revised form<br>2023 May 29<br>Accepted 2023 June 5<br>Published online 2023<br>September 16 |   |
| <b>Keywords:</b><br>Artificial Neural Network,<br>Deep Learning,<br>Estimation,<br>Missing Data WBAN.  |   |

**Cite this article:** Ebrahimi, A., Shamsi, M. & Mohajel, M. (2023). Optimal adjustment of deep neural network parameters in Estimation of Missing Data of Vital Signs in Wireless Body Area Networks. *Engineering Management and Soft Computing*, 9 (1). 162-188. DOI: <https://doi.org/10.22091/JEMSC.2022.7422.1162>



© The Author(s)

DOI: <https://doi.org/10.22091/JEMSC.2022.7422.1162>

**Publisher:** University of Qom

## تنظیم بهینه پارامترهای شبکه عصبی عمیق در برآورد داده‌های ازدست‌رفته علائم حیاتی در شبکه‌های حسگر بی‌سیم بدن

ابوالفضل ابراهیمی<sup>۱\*</sup>, محبوبه شمسی<sup>۲</sup> و مرتضی محجل<sup>۳</sup>

- کارشناس ارشد، گروه مهندسی کامپیوتر، دانشکده برق و کامپیوتر، دانشگاه صنعتی قم، قم، ایران. رایانame: [ebrahimi.a@qut.ac.ir](mailto:ebrahimi.a@qut.ac.ir)
- استادیار، گروه مهندسی کامپیوتر، دانشکده برق و کامپیوتر، دانشگاه صنعتی قم، قم، ایران. رایانame: [shamsi@qut.ac.ir](mailto:shamsi@qut.ac.ir)
- استادیار، گروه مهندسی کامپیوتر، دانشکده برق و کامپیوتر، دانشگاه صنعتی قم، قم، ایران. رایانame: [mohajjal@qut.ac.ir](mailto:mohajjal@qut.ac.ir)

| اطلاعات مقاله             | چکیده  |
|---------------------------|--|
| نوع مقاله: مقاله پژوهشی   | در شبکه‌های حسگر بی‌سیم به دلیل عوامل مختلفی از قبیل انرژی محدود، قابلیت انتقال سنسورها، خرایی سخت افزار و مشکلات شبکه مانند برخورد بسته‌ها، پیوند غیرقابل اطمینان و آسیب‌های غیرمنتظره، مقدار حس شده به سرخوشی یا استگاه پایه نمی‌رسد. بنابراین از بین رفتن داده‌ها در شبکه‌های حسگر بی‌سیم بسیار متداول است. از دست دادن داده‌های سنجیده شده، دقت WBAN را بسیار کاهش می‌دهد. برای حل این مشکل، داده‌های گم شده باید برآورد شوند. بهمنظور پیش‌بینی مقادیر گم شده، یک مدل برآورد داده ازدست‌رفته براساس شبکه عصبی LSTM (حافظه کوتاه‌مدت) در این مقاله ارائه شده است. این مدل پنج علامت حیاتی را به عنوان ورودی برای پیش‌بینی مقدار ازدست‌رفته ترکیب می‌کند. نتایج نشان می‌دهد که sgdm-LSTM روش خوبی برای برآورد مقدار ازدست‌رفته است. در ضمن نتایج تجربی نشان می‌دهد که میانگین خطای مربع ریشه مقدار برآورد شده کمتر از سایر روش‌های است. این مقدار، با بهترین ابزارهای شبکه عصبی عمیق ۴/۱۴۹۵ است. |
| تاریخ دریافت: ۱۴۰۲/۰۱/۱۷  | کلیدواژه‌ها:   |
| تاریخ بازنگری: ۱۴۰۲/۰۳/۰۸ | برآورد،  |
| تاریخ پذیرش: ۱۴۰۲/۰۳/۱۵   | داده ازدست‌رفته،   |
| تاریخ انتشار: ۱۴۰۲/۰۶/۲۵  | شبکه حسگر بی‌سیم بدن،<br>شبکه عصبی مصنوعی،<br>یادگیری عمیق.  |

استناد: ابراهیمی، ابوالفضل، شمسی، محبوبه و محجل، مرتضی. (۱۴۰۲). «تنظیم بهینه پارامترهای شبکه عصبی عمیق در برآورد داده‌های ازدست‌رفته علائم حیاتی در شبکه‌های حسگر بی‌سیم بدن». مدیریت مهندسی و رایانش نرم، دوره ۹ (۱)، صص: ۱۶۲-۱۸۸. <https://doi.org/10.22091/JEMSC.2022.7422.1162>.



## (۱) مقدمه

متأسفانه بیماری‌های مزمن و کشنده مانند سرطان و بیماری‌های قلبی عروقی و آسم اغلب دیر تشخیص داده می‌شوند. درنتیجه، این موضوع میزان مرگ و میر افرادی را که به چنین بیماری‌هایی مبتلا هستند، افزایش می‌دهد. تشخیص زودرس، اثر اینگونه بیماری‌ها را کاهش می‌دهد و امید به زندگی افراد مبتلا را افزایش می‌دهد. عدم تشخیص زودرس و نظارت مؤثر بر بیماری‌ها، هزینه‌های مراقبت‌های بهداشتی را افزایش می‌دهد و بار زیادی به سیستم‌های مراقبت‌های بهداشتی با منابع مالی محدود می‌افزاید. علاوه‌بر این، سیستم‌های سنتی نظارت، تصویر کاملی از وضعیت یک بیمار ارائه نمی‌دهند زیرا عملکردهای بدن خیلی کم کنترل می‌شود. این امر به دنبال سیستم‌های مفروضه‌تر و مقیاس‌پذیرتری است که بتواند مراقبت‌های بهداشتی فعلی را در راستای تشخیص زودهنگام بیماری و مدیریت سلامتی فعال انجام دهند.

فناوری‌های بی‌سیم، از جمله WSN و شبکه‌های بی‌سیم منطقه‌شخصی (WPAN)، فناوری نانو و اینترنت، وسیله‌ای را فراهم می‌کند که از طریق آن میتوان راه حل‌های اقتصادی برای سیستم‌های مراقبت‌های بهداشتی یافت. چنین فناوری‌هایی، ایده استفاده از ریزسنسورهای هوشمند با توان مصرفی پایین، میکروسنسورها و حسگرها را برای نمونه‌برداری از داده‌های فیزیولوژیکی و سپس انتقال آن به سرور از راه دور از طریق ارتباط بی‌سیم پیشنهاد می‌کنند. انقلاب شبکه‌های سنسورهای بی‌سیم (WSN) با ساختن فناوری قابل پوشیدن یا حتی کاشت در بدن انسان جهت خود را به سمت فناوری متناسب با تحرك انسانی سوق داد. این فناوری با گره‌های حسگر کم‌هزینه، محدود کننده انرژی، ریز و ناهمگن شناخته می‌شود که نوع خاصی از WSN، یعنی شبکه بی‌سیم بدن (WBAN) را تشکیل می‌دهد. این امر اجازه موقعیت‌های غیرطبیعی از طریق دستگاه‌های مانیتور پوشیدنی و کاشته شده، زندگی افراد را نجات می‌دهد. این امر اجازه می‌دهد تا نظارت مداوم و در زمان واقعی و بدون مداخله انسانی انجام شود که باعث بهبود کیفیت نتایج به دست آمده می‌شود. علاوه‌بر این، WBAN به بیماران امکان می‌دهد فعالیت‌های عادی خود را بدون وقفه انجام دهند در حالیکه سیگنال‌های حیاتی آنها مورد بررسی قرار می‌گیرد زیرا دیگر نیازی به ماندن در بیمارستان یا مراجعت به خدمات پزشکی نیست. تصویب WBAN باید هزینه‌های مراقبت‌های بهداشتی را با به‌حداقل رساندن نیاز به مراقبت‌های گران‌قیمت در مراقبت‌های بیمارستانی کاهش دهد. مهمتر از همه، داده‌های ارائه شده توسط WBAN به پزشکان دید بهتری از وضعیت یک بیمار می‌دهد زیرا این داده‌ها در طی فعالیت‌های عادی یک بیمار در محیط طبیعی خود جمع‌آوری می‌شود.

WBAN باید قابل اعتماد باشد زیرا هر عیب و نقصی می‌تواند تهدید کننده زندگی برای شخص وابسته به این فناوری باشد. یکی از الزامات یک سیستم قابل اعتماد این است که باید تحمل پذیر در برابر خطأ باشد. یعنی اگر یک خطأ بدون در نظر گرفتن نوع یا ماهیت خطأ رخ دهد، باید توانایی بهبودی خود را داشته باشد. با توجه به حساسیت و اهمیت داده‌های WBAN حمل شده و مورد استفاده WBAN، تحمل خطأ یک مستلزم مهم است. با وجود مطالعات تحقیقاتی مداوم که در با موضوعات فنی مقابله می‌کند، مانند انرژی، تحرك، امنیت، مسیریابی و طراحی سنسور، با این حال؛ تشخیص خطأ و بازگشت در WBAN‌ها هنوز در مراحل ابتدایی خود است.

## (۲) پیشنهاد پژوهش

روش‌های بسیاری برای بازسازی داده‌های سنسور از دست رفته براساس همبستگی زمانی، روش درون‌یابی یا نظریه پراکنده استفاده می‌شود. با توجه به ویژگی‌های داده‌های علائم حیاتی، می‌توان آنها را به عنوان یک سری اطلاعات متوالی در نظر گرفت. تاکنون روش‌های مختلفی برای برآورد داده‌های از دست رفته در داده‌های سری زمانی زمینه‌های مختلف، توسعه یافته است. این روش‌ها را می‌توان به دو دسته تقسیم کرد: روش‌های آماری و روش‌های مبتنی بر یادگیری ماشین.

نویسنده‌گان [۲] یک الگوریتم برآورد داده از دست رفته در شبکه wsn با استفاده از الگوریتم k نزدیکترین همسایه، براساس همبستگی فضایی-زمانی داده‌های سنسور پیشنهاد دادند. آنها از مدل رگرسیون خطی، برای توصیف همبستگی فضایی داده‌های سنسور در گره‌های حسگر مختلف و از اطلاعات داده گره‌های مختلف همسایه برای برآورد داده‌های از دست رفته به طور مستقل استفاده می‌کنند. از آنجاکه روش پیشنهادی مبتنی بر همبستگی مکانی داده‌های حسگر برای تخمین داده‌های از دست رفته و مدل خطی توسط الگوریتم اتخاذ شده است، هنگامی که داده‌های حسگر گره‌های مختلف کاملاً خطی باشد، بهترین عملکرد را خواهد داشت.

یکی از محسن الگوریتم پیشنهادشده در این مقاله، عملکرد خوب برای داده‌ها در داخل و خارج از منزل می‌باشد و مشکل الگوریتم یادشده وابستگی به تعداد نود همسایه و تعداد مقادیر از دست رفته است. همچنین همبستگی داده‌های حسگر ممکن است گاهی اوقات خطی نباشد. مدل خطی می‌تواند در یک بازه زمانی کوتاه همبستگی داده واقعی را به خوبی تخمین بزند و از این رو وقتی اندازه نمونه زیاد نباشد، عملکرد خوبی خواهد داشت حتی اگر داده‌های سنسور به طور صحیح به صورت خطی نباشد.

نویسنده‌گان [۱] الگوریتم برآورد داده‌های از دست رفته حسگرها براساس همبستگی فضایی و زمانی ارائه کردند. این الگوریتم اطلاعات مربوطه را به عنوان نمونه تجزیه و تحلیل انتخاب می‌کند و تضمین می‌کند که هیچ نمونه‌ای از داده‌های بیش از حد وجود نداشته باشد و نمونه قوی‌ترین ارتباط را با داده‌های گم شده داشته باشد. در مرحله اول، تمام داده‌های سنجش شده همزمان با یک سری زمانی را ذخیره می‌کند و مرتبط ترین سری‌ها به عنوان نمونه تجزیه و تحلیل انتخاب می‌شوند که به طور قابل توجهی کارآیی و دقت الگوریتم را بهبود می‌بخشد. ثانیاً مقادیر از دست رفته را از بعد زمانی و مکانی تخمین می‌زنند. وزن‌های مختلفی به این دو بعد اختصاص داده شده است. الگوریتم یادشده رابطه بین صفات را در نظر نگرفته است. نویسنده‌گان [۳] از فرآیندهای گاووسی یادگیری ماشین برای پیش‌بینی داده‌های از دست رفته در شبکه حسگرها بی‌سیم بدن، استفاده کردند. الگوریتم انتخاب شده برای مدل‌سازی و پیش‌بینی، الگوریتم N4SID مبتنی بر فضای حالت است. این الگوریتم در صورت تنظیم دقیق پارامترهای یادگیری ماشین دقت بالایی ارائه می‌دهد.

نویسنده‌گان [۴] روشی با تحلیل پویای فاکتور فراموشی متغیر برای شبکه‌های حسگر بی‌سیم با داده‌های گم شده به صورت بازگشتی ارائه دادند. با تجزیه اندازه گیری‌های WSN به بارهای فاکتور متعامد و فاکتورهای همبستگی از ساختار همبستگی افزونگی در بین اندازه گیری‌های WSN استفاده می‌کنند. یک فاکتور فراموشی متغیر مبتنی بر مدل چندجمله‌ای محلی (LPM) برای الگوریتم RDFA ارائه شده است و ما را قادر می‌سازد تا با محیط متغیر با زمان سازگاری بهتری داشته

باشیم. روش آنها نسبت به روش k-نزدیکترین همسایه به حذف نمونه‌ها مقاومتر است. اما مشکل آن پیچیدگی بالای زمانی در محاسبه مقدار داده ازدست رفته می‌باشد.

نویسنده‌گان [۶] با توجه به اینکه داده‌های جمع آوری شده توسط گرهای حسگر به دلیل استفاده از توپولوژی استقرار شبکه حسگر بی‌سیم، از لحاظ مکانی و زمانی باهم ارتباط دارند، پیش‌بینی ارزش‌های گم شده در شبکه حسگر بی‌سیم با استفاده از همبستگی فضایی و زمانی را ارائه دادند که نسبت به متدهای knn دقت بالاتری دارد. اما دقت وابسته به تعداد نودهای همسایه است. پس از استقرار گرهای حسگر، تشکیل خوش صورت می‌گیرد که منجر به ایجاد خوش‌هایی از آن گرهای حسگر می‌شود که از لحاظ زمانی و مکانی باهم ارتباط دارند. بعد از تشکیل خوش، گرهای حسگر داده‌ها را حس می‌کنند و آنها را به سرخوش می‌فرستند. سرخوش داده‌های سنجش شده را جمع آوری کرده، پردازش کرده و برای گره سینک می‌فرستد. اگر سرخوش، از دست داده‌های هر یک از اعضای خود را شناسایی کند سپس سرخوش از PSTC برای پیش‌بینی مقدار ازدست رفته استفاده می‌کند.

نویسنده‌گان [۵] از روش هموارسازی نمایی مرتبه دوم و آنالیز رگرسیون خطی برای پیش‌بینی داده‌های ازدست رفته در شبکه حسگرها بی‌سیم استفاده کردند. به این صورت که الگوریتم از روش هموارسازی نمایی مرتبه دوم برای تخمین داده‌های گم شده در ابعاد زمانی و از آنالیز رگرسیون خطی چندگانه برای تخمین ارزش‌های گم شده در فضا استفاده می‌کند. پیچیدگی زمانی الگوریتم کم و دقت پیش‌بینی بالاست. اما نیازمند داده‌های نسبتاً دقیق به عنوان پایه می‌باشد. در مقایسه با الگوریتم‌های تخمین داده‌های ازدست رفته سنتی، این الگوریتم نه تنها ویژگی‌های شبکه‌های حسگر بی‌سیم را در نظر می‌گیرد، بلکه می‌تواند داده‌های ازدست رفته را در زمان واقعی پردازش کند. به منظور برآورد داده‌های ازدست رفته، دو الگوریتم با وزن‌های مختلف ادغام می‌شوند. بردار وزنی با کمترین جمع مربعات خطاهای بدست می‌آید و سپس نتیجه برآورد نهایی به دست می‌آید. انتخاب ضریب وزن به طور مستقیم دقت نتایج را تعیین می‌کند. بنابراین باید وزن بالاتری به برآورد دقیق تر اختصاص داده شود. در این مقاله، از ضریب همبستگی پیرسون برای یافتن ارتباط بین گرهای استفاده می‌کنیم. پس از به دست آوردن ضریب همبستگی، ضریب رگرسیون با استفاده از روش حداقل مربعات به دست می‌آید. این الگوریتم خصوصیات مختلف داده‌های ادراکی را نه تنها برای همبستگی فضایی بلکه در سری زمانی برای تخمین داده‌های ازدست رفته در نظر می‌گیرد تا بتواند برآورده را پیدا کند که مجموع مربعات خطاهای را به حداقل برساند. نویسنده‌گان [۷] روش یادگیری فرنگ لغت انطباقی به روز را برای بازسازی اطلاعات گم شده در شبکه حسگرها بی‌سیم را ارائه کردند که نیاز به حداقل داده آموزش دارد اما پیچیدگی محاسباتی زیادی دارد.

الگوریتم K-SVD برای آموزش فریم داده‌های تاریخی است که در زمان‌های مختلف برای تولید اتم‌های فرنگ لغت اصلی جمع آوری می‌شود. علاوه براین، به منظور دستیابی به ویژگی‌های مداوم داده‌های حسگر در زمان واقعی، یک الگوریتم به روزرسانی فرنگ لغت تطبیقی مورد مطالعه قرار گرفته است. این همبستگی بین قاب داده‌های بازسازی شده فعلی و بزرگترین چهارچوب وزن در فرنگ لغت آموزش برای به روزرسانی فرنگ لغت را محاسبه می‌کند. با ترکیب همبستگی زمانی و تولید فرنگ لغت پراکنده، از الگوریتم یادگیری فرنگ لغت مبتنی بر KSVD برای آموزش فریم‌های تاریخی در یک بازه زمانی خاص برای به دست آوردن فرنگ لغت تابع پایه استفاده می‌شود. سپس برای بازسازی قاب

حسگر فعلی با توجه به اتم‌های فرنگی، لغت و ضرایب پراکنده مربوطه با کدگذاری پراکنده استفاده می‌شود. وقتی از فرنگی لغت ثابت برای بازسازی فریم‌های داده استفاده می‌شود، خطای بازسازی با افزایش فاصله نمونه‌برداری بزرگتر خواهد شد. بنابراین یک روش بهروزرسانی فرنگی لغت تطبیقی برای کاهش خطای بازسازی ارائه شده است که امکان بهروزرسانی انتخابی اتم‌های فرنگی لغت وجود دارد. نویسنده‌گان [۸] از کدگذاری شبکه همکاری به منظور بازیابی داده‌ها در شبکه حسگرهای بی‌سیم بدین استفاده کردند. آنها با روش پیشنهادی اشان با کاهش زمان انتقال مجدد اطلاعات، از تک نقاط شکست جلوگیری می‌کنند. ارتباطات مشترک در WBAN یک راه حل منحصر به فرد برای نیازهای عملکردی ارائه می‌دهد. این از حالت پخش کانال‌های ارتباطی بی‌سیم استفاده می‌کند تا گره‌های همسایه (که به آنها رله گفته می‌شود) بتوانند سیگنال منبع درنظر گرفته شده برای یک مقصد خاص را بشونوند، سیگنال را پردازش کرده و به مقصد موردنظر منتقل کنند. سیگنال‌هایی که از رله‌ها و منبع دریافت می‌شوند در مقصد موردنظر ترکیب می‌شوند که منجر به کاهش تلفات بسته به دلیل خرابی پیوند یا یک نقطه خرابی می‌شود. ایده اصلی این روش استفاده از ترمینال‌های موجود کاربر به عنوان رله‌هایی است که می‌توانند برای افزایش کارآیی سیستم همکاری کنند.

ارتباط همکاری با کدگذاری شبکه بر روی به حداقل رساندن تعداد انتقال سیگنال‌های یک رله منفرد است. سیگنال‌هایی که در یک رله منفرد دریافت می‌شوند به صورت خطی ترکیب شده و درنتیجه فقط یک سیگنال تولید می‌شود و سپس به مقصد منتقل می‌شود. بنابراین هر رله برای ارسال سیگنال خود فقط به یک اسلات زمان نیاز دارد. فرض بر این است که رله‌ها در حالت نیمه‌دوبلکس ارتباط برقرار می‌کنند و بنابراین هیچ گره‌ای قادر به ارسال و دریافت همزمان نیست. در ابتدا گره منبع بسته‌ای را به گره مقصد پخش می‌کند. اگر رله بتواند آن را رمزگشایی کند، یک کپی از بسته نیز در شکاف بعدی ارسال می‌شود. بنابراین سینک یا مقصد، اطلاعات را از دو نسخه بسته دریافت شده رمزگشایی می‌کند. در انواع رمزگشایی و طرح‌های ارتباطی مبتنی بر جلو، گره‌های رله باید ابتدا پیام منبع را رمزگشایی کرده و سپس آن را رمزگذاری مجدد کرده و به مقصد منتقل کنند. اما همه این طرحها فقط با تعداد محدودی از گره‌های منبع مفید هستند. با افزایش تعداد گره‌های منبع، گره‌های رله نیاز به پردازش زیادی دارند که انرژی انتقال زیادی را مصرف می‌کند. نویسنده‌گان [۹] با استفاده از شبکه‌های عصبی مصنوعی، داده‌های گم شده را تخمین می‌زنند. اما بهره‌وری یادگیری ANN بستگی به مقادیر اولیه پارامترها دارد. داده‌های عادی اصلی با استفاده از پنجره‌های داده تبدیل می‌شوند تا خصوصیات سری زمانی داده‌های ویترین با ANN را بیاموزند. روند داده‌های سری زمانی با مرور زمان در نوسان است. از این رو، یادگیری ویژگی‌های سری زمانی داده موثرتر از یادگیری تنها یک داده در یک زمان است. شبکه ANN می‌تواند با استفاده از ماتریس ترکیبی تبدیل شده به عنوان داده ورودی و داده هدف، مشخصات داده‌ها را با توجه به ویژگی‌های سری زمانی بیاموزد. یکتابع سیگموئید برای سلول‌های عصبی در توابع فعال‌سازی لایه پنهان استفاده می‌شود. خطای میانگین مربع به عنوان تابع از دادن استفاده می‌شود. ANN پارامترهای مناسب برای تخمین داده‌های از دست‌رفته ویترین را با استفاده از داده‌های اندازه‌پنجره گذشته به عنوان ورودی و داده هدف بعدی به عنوان داده‌های هدف یاد می‌گیرد. وقتی تکرار یادگیری به تعداد تکرار از پیش تعیین شده می‌رسد، یادگیری متوقف می‌شود. اگر هنگام اندازه‌گیری داده‌های ویترین آنلاین، اطلاعات از دست‌رفته وجود داشته باشد، داده‌های از دست‌رفته با استفاده از ANN آموخته شده تخمین زده می‌شود.

داده‌های ازدست‌رفته با ورود داده‌های آنلاین پنجره‌های گذشته و پنجره فعلی به شبکه عصبی آموخته شده تخمین زده می‌شود. این مقاله اندازه پنجره و تعداد سلول‌های عصبی موجود در یک لایه مخفی را با  $10 \times 10$  افزایش، تغییر می‌دهد. نویسنده‌گان [۱۰] با استفاده از تکرار درخواست، بخش شامل داده خراب را مجدداً دریافت می‌کنند که سربار اضافی به سیستم تحمیل می‌کند اما در مقایسه با سایر روش‌هایی که کل قاب داده را درخواست می‌کنند انرژی مصرفی کمتر و دقت بالاتری دارند. طرح پیشنهادی هنگامی که وضعیت کanal خراب است، میزان بار داده را به بخش‌هایی تقسیم می‌کند و فقط بخش (های) خراب را دوباره انتقال می‌دهد. این اندازه فریم‌های انتقال یافته را کاهش می‌دهد که باعث بهبود سرعت دریافت قاب و کاهش میزان ترافیک منتقل شده و درنتیجه، مصرف انرژی می‌شود. آزمایش‌های ما با استفاده از یک بستر آزمایش IEEE 802.15.4 WBAN مبتنی بر مکانیسم پیش‌فرض IEEE 802.15.4 ARQ فراهم می‌کنند. نویسنده‌گان [۱۱] با استفاده از بهینه‌سازی برق کمتری را نسبت به مکانیسم پیش‌فرض IEEE 802.15.4 ARQ فراهم می‌کنند. نویسنده‌گان [۱۲] با استفاده از بهینه‌سازی ذرات ازدحام مبتنی بر شبکه عصبی مصنوعی، ویژگی‌های سری زمانی داده‌ها را فرا می‌گیرند و داده‌ها را تخمین می‌زنند که دقت تخمین داده‌های ازدست‌رفته از روش مبتنی بر DEEPSO پیشنهادی نسبت به روش‌های متداول BP و PSO برتز است اما راندمان محاسبه بالا است. DEEPSO یک روش ترکیبی با PSO تکاملی (EPSO) است که یک روش بهبودی PSO و تکامل دیفرانسیل (DE) است. این روش می‌تواند راه حل‌های با کیفیت بالاتر از PSO های معمولی تولید کند.

DEEPSO از معادلات بهروزرسانی مختلف مانند تصویر زیر استفاده می‌کند:

تکثیر: هر ذره R بار تکرار (بهینه‌سازی) می‌شود.

جهش: تمام ذرات بهینه‌سازی شده R دارای وزنی هستند که با معادلات مربوطه جهش می‌یابند.

تولیدمثل: فرزندان  $1 + R$  (اصلی و کلون‌ها) با معادلات مربوطه بهروز می‌شوند. ارزیابی: مقدار تابع هدف به همه فرزندان محاسبه می‌شود.

انتخاب: فرزندان تشکیل‌دهنده نسل بعدی با استفاده از مسابقات تصادفی یا سایر روش‌های انتخاب، انتخاب می‌شوند. در این مقاله؛ یک روش انتخاب که در آن عامل با بهترین سازگاری از بین عوامل اصلی و کلون برای نسل بعدی انتخاب می‌شود، استفاده می‌شود. پارامترهای ANN مناسب برای تخمین داده‌های ازدست‌رفته توسط DEEPSO آموزش داده می‌شود. داده‌های اندازه گیری شده در گذشته داده‌های یادگیری استفاده شده‌است و ANN مقادیر اندازه گیری شده، اندازه پنجره را به عنوان داده ورودی و مقدار اندازه گیری شده بعدی را به عنوان داده هدف می‌آموزد. علاوه‌براین، مقدار تابع هدف با استفاده از پارامترهای بهروزشده توسط DEEPSO محاسبه می‌شود و پارامترها براساس فرآیندهای مربوطه به روز می‌شوند. یک تابع خطی مربع میانگین به عنوان یک تابع هدف استفاده می‌شود. وقتی داده از دست می‌رود، مقادیر ازدست‌رفته را می‌توان با استفاده از مقادیر اندازه گیری شده اندازه پنجره به عنوان داده ورودی تخمین زد. یک تابع سیگموئید به عنوان تابع فعال‌سازی ANN استفاده می‌شود. علاوه‌براین، برای هر سنسور ویترین یک مدل ANN سه لایه آماده شده است.

نویسنده‌گان [۱۲] با استفاده از یادگیری عمیق، یک مدل خطی برای پیش‌بینی مشاهدات مفقودشده جریان ترافیکی از طریق ترکیب اطلاعات زمانی مقیاس‌های مختلف ارائه می‌کنند که دقت بالاتری نسبت به روش‌های مشابه دارد. الگوهای

مختلف داده‌های ازدست‌رفته را تجزیه و تحلیل می‌کنند و یک روش پیش‌بینی جدید که ویژگی‌های هر الگو را ترکیبی می‌کند، طراحی می‌کنند. علاوه بر این، با ترکیب صریح الگوی ازدست‌رفته براساس مدل LSTM اصلاح شده، رویکرد جدیدی برای استباط باقیمانده پیش‌بینی ارائه می‌دهند.

معماری اصلی از ۶ لایه LSTM و ۱ لایه کاملاً متصل (FC) تشکیل شده است. پارامترها با توجه به تجربه مهندسی انتخاب می‌شوند. متغیر مشاهده (ورودی) دارای بعد ۱ است و اندازه واحد پنهان در LSTM در کل این مقاله، ۳۲ است. به علاوه، تابع فعال‌سازی برای لایه LSTM، تابع  $\tanh$  است. از الگوریتم Adam برای بهینه‌سازی استفاده می‌کنند زیرا داده‌های جریان ترافیک پرسروصدای هستند و Adam برای مشکلات گرادیان‌های پرسروصدای پراکنده مناسب است. میزان یادگیری  $r = 0.001$  است. آموزش وقتی خاتمه یابد که به حداقل تعداد دوره (در این مورد ۱۰ دوره) برسد. در پژوهش قبلی [۷۰] به مدل مناسب شبکه عصبی عمیق، برای برآورد داده‌های ازدست‌رفته ضربان قلب دست پیدا کردیم. در این پژوهش با بهم ریختن ترتیب ورود داده‌ها در هنگام آموزش شبکه و همچنین مقایسه با روش مشابه در تخمین داده‌های ازدست‌رفته با استفاده از شبکه عصبی عمیق [۶۹]، به پارامترهای بهینه شبکه عصبی عمیق در مورد مجموعه داده خواهیم رسید.

### (۳) روش‌شناسی پژوهش

#### (۱-۳) مراحل انجام پژوهش

با توجه به این که داده‌های ما از نوع سری زمانی است و برتری LSTM در تجزیه و تحلیل توالی نسبت به سایر روش‌ها، از LSTM برای یادگیری سری زمانی داده‌های علائم حیاتی بدن استفاده می‌کنیم.

#### (۲-۳) جامعه پژوهش

پایگاه داده MIMIC-III Waveform، با نظرارت بر بیماران بستری در بخش مراقبت‌های ویژه بزرگسالان و نوزادان، هزاران سیگنال فیزیولوژیکی چندگانه ضبط شده و سری زمانی علائم حیاتی جمع آوری نموده است که ما برای تست الگوریتم و تعیین پارامترهای الگوریتم از آن استفاده می‌کنیم.

#### (۳-۳) نمونه پژوهش

به علت حجم زیاد داده‌ها و دشواری بودن تست الگوریتم روی تمامی داده‌ها، به تست ۵۰۰ بیمار از این دیتاست که علائم حیاتی آنها شامل ضربان قلب، تنفس، اکسیژن خون و غیره بود، اکتفا می‌کنیم. ۷۰ درصد ابتدای سری زمانی هر بیمار را برای آموزش و ۳۰ درصد انتهای آن را برای اعتبارسنجی استفاده می‌کنیم و از ۱۰۰ بیمار دیگر برای تست الگوریتم و محاسبه میزان خطای الگوریتم استفاده می‌کنیم.

#### (۴-۳) پیش‌پردازش داده‌ها

به علت اینکه فرمت دیتاست با ورودی الگوریتم ما یکسان نیست ابتدا ورودی موردنظر را استخراج می‌کنیم. سپس به پر کردن مقادیر ازدست‌رفته در دیتاست می‌پردازیم. بدین صورت که ابتدا خانه‌های خالی را با میانگین ۱۰ خانه اخیر پر

می‌کنیم. اگر به این ۱۰ خانه دسترسی نداشتم، با نزدیکترین مقدار جایگزین می‌کنیم. همچنین اگر باز هم داده‌ای نداشتم مقدار هریک از علائم حیاتی را با مقادیر ثابت زیر جایگزین می‌کنیم که میانگین کل مقادیر مشاهده شده در دیتابست است:

Hr=91, Resp=20, Spo2=100  
Abps=121, Abpd=62, Abpm=81

سپس به نرمال‌سازی داده‌ها می‌پردازیم بدین صورت که، ابتدا مینیمم و ماکزیمم را از داده‌ها حذف می‌کنیم سپس از تمامی داده‌ها، میانگین را کم و بر انحراف معیار تقسیم می‌کنیم.

### ۳-۵) ابزارهای مورداستفاده در پژوهش

با بررسی مقالات پیرامون موضوع این پژوهش، نرم‌افزار متلب به عنوان نرم‌افزار شبیه‌سازی و مشاهده نتایج انتخاب شد. این نرم‌افزار روش‌های مختلفی برای تعامل و انتقال داده‌ها دارد. همچنین از وارد و صادر کردن مدل‌ها بین چهارچوب‌های دیگر یادگیری عمیق پشتیبانی می‌کند.

### ۳-۶) پارامترهای ارزیابی

سه معیار برای ارزیابی کارآیی استفاده می‌شود: خطای میانگین مربعات ریشه (RMSE)، میانگین خطای مطلق (MAE)، میانگین درصد خطای مطلق (MAPE) که معیارهای مشهور برای اعتبارسنجی نتایج عملکرد پیش‌بینی هستند.

$$RMSE = \sqrt{\frac{1}{n} \sum_{i=1}^n (x_i - \hat{x}_i)^2}$$

$$MAE = \frac{1}{n} \sum_{i=1}^n |x_i - \hat{x}_i|$$

$$MAPE = \frac{1}{n} \sum_{i=1}^n \left| \frac{x_i - \hat{x}_i}{x_i} \right| \times 100$$

MAE اندازه متوسط خطاهای را در مجموعه‌ای از پیش‌بینی‌ها، بدون درنظر گرفتن جهت آنها، اندازه گیری می‌کند. این برای متغیرهای پیوسته دقت را اندازه گیری می‌کند. MAE نمره خطی است به این معنی که تمام تفاوت‌های فردی به طور مساوی در میانگین وزنی است.

RMSE یک قانون امتیازدهی درجه دوم است که مقدار متوسط خطای را اندازه گیری می‌کند. از آنجایی که خطاهای RMSE قبل از میانگین کردن آنها مربع هستند، RMSE وزن نسبتاً بالایی به خطاهای بزرگ می‌دهد. این بدان معنی است که هنگامی که خطاهای بزرگ به خصوص نامطلوب هستند، مفید است. RMSE همیشه بزرگتر یا مساوی با MAE خواهد بود. تفاوت بیشتر بین آنها، بیشتر واریانس در خطاهای فردی در نمونه است. اگر  $RMSE = MAE$  باشد، همه خطاهای از یک اندازه است هر دو MAE و RMSE می‌توانند از ۰ تا بی‌نهایت متغیر باشند. آنها نمرات منفی گرا هستند: یعنی مقادیر پایین بهتر هستند.

### ۳-۷) مدل استفاده شده

مدل استفاده شده برای شروع الگوریتم، مطابق مقاله پایه [۶۶] و به صورت زیر خواهد بود:

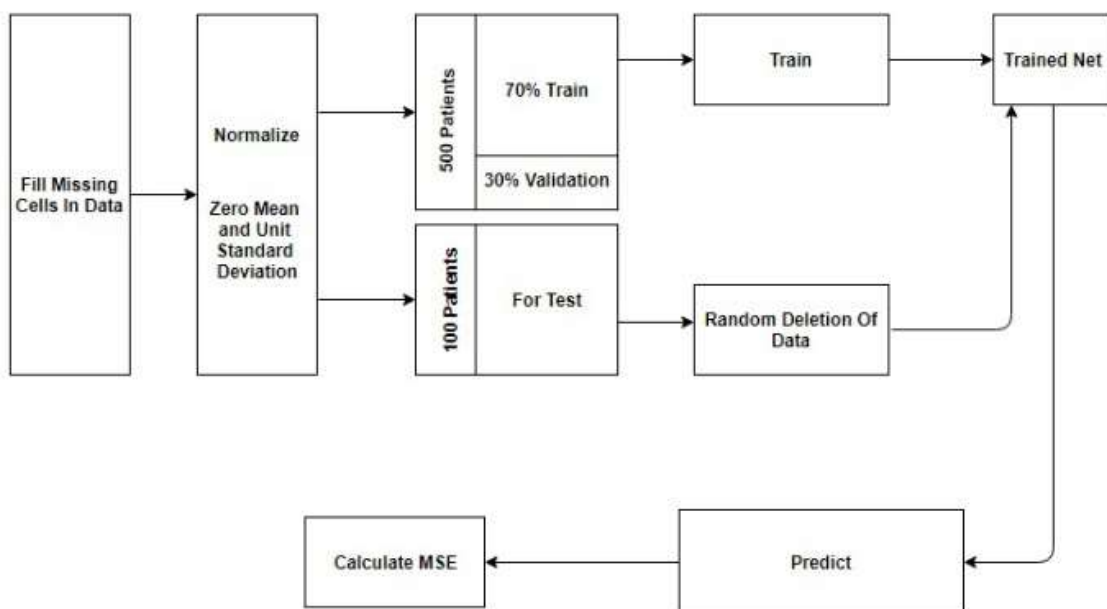
### جدول ۱. پارامترهای اولیه مدل استفاده شده

| مرحله | توضیحات                 | تعداد واحدها |
|-------|-------------------------|--------------|
| ۱     | Input Layer             | 6            |
| ۲     | Lstm Layer              | 150          |
| ۳     | Fully Connected Layer 1 | 50           |
| ۴     | DropOut Layer           | ۰/۵          |
| ۵     | Fully Connected Layer 2 | 1            |
| ۶     | Regression Layer        | 1            |

### ۴) جزئیات روش پیشنهادی

روند کلی کار بدین صورت است که ابتدا داده‌های مربوط به ۵۰۰ بیمار را برای آموزش و ۱۰۰ بیمار دیگر را برای تست در نظر می‌گیریم. سپس از ۷۰ درصد سری زمانی داده‌های آموزش، برای آموزش مدل و ۳۰ درصد پایانی سری زمانی برای ارزیابی و جلوگیری از Overfitting استفاده می‌کنیم.

به دلیل اینکه بعضی از مقادیر ثبت نشده است و برای به دست آوردن خطای مدل نیاز به مقایسه مقادیر پیش‌بینی شده با مقادیر واقعی داریم، مقادیر ثبت نشده را با بهترین مقدار جایگزین می‌کنیم. در مرحله بعد به نرمال‌سازی داده‌ها می‌پردازیم تا داده‌ها یکنواخت شوند. سپس الگوریتم آموزش شبکه را بر روی داده‌های آموزش اجرا می‌کنیم و همچنین به طور تصادفی برخی خروجی موردنظر داده‌های تست را حذف می‌کنیم. درنهایت با استفاده از شبکه آموزش دیده مقادیر از دست رفته را پیش‌بینی می‌کنیم و با مقادیر موردنظر مقایسه می‌کنیم تا خطای مدل به دست آید.



شکل ۱. روند کار

#### ۱-۴) فاز اول) ورود داده‌ها و پرکردن مقادیر خالی

در این مرحله ابتدا خروجی‌های تهیه شده از دیتاست را وارد می‌کنیم. سپس خانه‌های خالی را ابتدا با میانه، در غیراین صورت با نزدیکترین همسایه و در صورت موجود نبودن هیچ کدام با مقدار ثابت که میانگین کل داده‌ها در دیتاست می‌باشد، پر می‌کنیم.

```

1. function Import-Data ()
2.     Import patient from csv
3.     Replace missing cell with median
4.     Replace missing cell with nearest
5.     Replace missing hr column with average hr value in dataset (91)
6.     Replace missing resp column with average resp value in dataset (20)
7.     Replace missing spo2 column with average spo2 value in dataset (100)
8.     Replace missing abps column with average abps value in dataset (121)
9.     Replace missing abpd column with average abpd value in dataset (62)
10.    Replace missing abpm column with average abpm value in dataset (81)
11.    Return Train & Test & Validation Data

```

شکل ۲. فاز اول

#### ۲-۴) فاز دوم) نرم‌افزاری داده‌های آموزش و تست

در این فاز کمترین و بیشترین مقدار را پیدا می‌کنیم و از داده‌ها حذف می‌کنیم. سپس میانگین و انحراف معیار داده‌ها را حساب کرده و از تمامی داده‌ها میانگین را کم و تقسیم بر انحراف معیار می‌کنیم. به این صورت همه داده‌ها نرمال خواهند شد و دامنه تغییراتشان کوچکتر می‌شود.

```

1. function Normalize ()
2.     find min & max
3.     remove min & max
4.     calculate mean & sig
5.     for i from 1 to n
6.         x[i] = (x[i]-mean)/sig
7.     Return Train & Test & Validation Data

```

شکل ۳. فاز دوم

**(۳-۴) فاز سوم) آموزش شبکه**

در این فاز پس از تنظیم ابرپارامترهای شبکه، شبکه را با داده‌های آموزش تعلیم می‌دهیم. درنهایت خروجی شبکه، یک ماتریس وزنی خواهد بود که برای پیش‌بینی مقادیر از دست رفته می‌توان از آن استفاده کرد.

```

1. function Train ()
2.     configure network parameters & hyper-parameters
3.     train Network
4.     Return Network Weight Matrix

```

شکل ۴. فاز سوم

**(۴-۴) فاز چهارم) پیش‌بینی مقادیر از دست رفته**

در این مرحله با استفاده از ماتریس وزنی به دست آمده در مرحله قبل، به پیش‌بینی مقادیر از دست رفته داده‌های تست خواهیم پرداخت.

```

1. function Predict ()
2.     predict
3.     Return predicted value

```

شکل ۵. فاز چهارم

**(۵-۴) فاز پنجم) محاسبه مقادیر خطأ**

در این فاز، تک تک مقادیر پیش‌بینی شده را با مقادیر موردنظر مقایسه می‌کنیم و خطای مدل را به دست می‌آوریم و برای محاسبه خطای کل از میانگین خطاهای استفاده می‌کنیم.

```

1. function Calculate-Error ()
2.     for i from 1 to n
3.         rmse{i} = sqrt(mean((y{i}-p{i})^2))
4.         mae{i} = mean(abs(y{i}-p{i}))
5.         mape{i} = mean(abs(y{i}-p{i})/y{i}))*100
6.         RMSE = mean(rmse)
7.         MAE = mean(mae)
8.         MAPE = mean(mape)
9.         Return RMSE & MAE & MAPE

```

شکل ۶. فاز پنجم

## ۵) تنظیم ابرپارامترها

شبکه‌های عصبی مصنوعی دارای دو فرایانتر اصلی هستند که معماری یا توپولوژی شبکه را کنترل می‌کنند: تعداد لایه‌ها و تعداد گره‌ها در هر لایه پنهان. هنگام تنظیم شبکه باید مقادیر این پارامترها را مشخص کرد. مطمئن‌ترین روش برای پیکربندی این ابرپارامترها برای مدل‌سازی یک مسئله پیش‌بینی خاص، از طریق آزمایش سیستماتیک با یک تست قوی است.

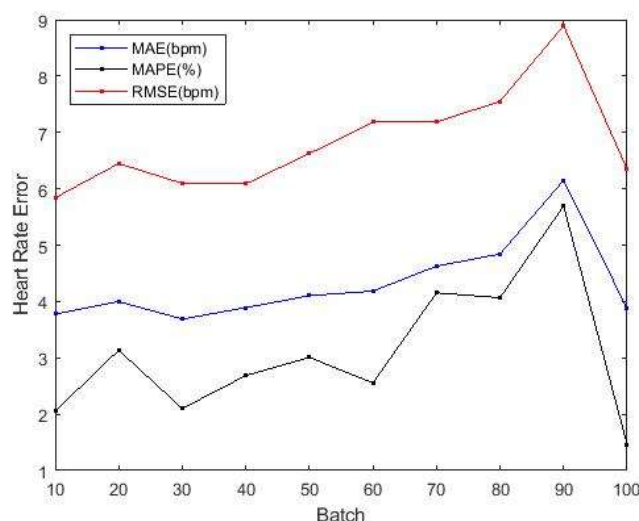
## ۶) یافته‌های پژوهش

با توجه به این که الگوریتم یادگیری عمیق نیاز به یک سری فرایانترها برای دقت بیشتر نیاز دارد، ابتدا یک پارامتر را متغیر و مابقی پارامترها را ثابت درنظر می‌گیریم و برای بررسی تاثیر متغیر از خطای مربعات استفاده می‌کنیم و کمترین خطای را به عنوان هدف درنظر می‌گیریم تا مقدار بهینه پارامتر به دست آید. تاثیر پارامترها را مطابق سناریوهای زیر بررسی خواهیم کرد:

در این بخش چند سناریو برای بررسی و ارزیابی روش پیشنهادی استفاده می‌شود که هر کدام به‌طور کامل شرح داده می‌شوند و نتایج آنها نشان داده می‌شود.

### ۱-۶) سناریوی اول: تاثیر افزایش BatchSize

تمامی پارامترهای شبکه بجز BatchSize، ثابت درنظر گرفته شده‌اند.



شکل ۷. تاثیر batchsize

همانطور که در شکل ۷ مشخص است، کمترین خطای مربوط به batchsize با مقدار ۱۰ است. همچنین نمودار شیب صعودی دارد ولی در مقدار ۲۰ به دلیل عدم بسته‌بندی مناسب داده‌ها مقدار ناگهان افزایش داشته است. همچنین در مقدار ۹۰ به دلیل عدم بسته‌بندی مناسب داده‌ها این اتفاق دوباره تکرار شده است.

اگر اندازه دسته برابر با کل مجموعه داده باشد، همگرایی با بهینه سراسری تابع هدف را تضمین می کند اما این به بهای کندر شدن فرآیند یادگیری است. از طرف دیگر به صورت تجربی، استفاده از اندازه دسته کوچکتر، همگرایی سریع تری به راه حل های خوب دارد. به صورت شهودی اندازه دسته کوچکتر به مدل اجازه می دهد قبل از دیدن همه داده ها، شروع به یادگیری کند. نکته منفی استفاده از اندازه دسته کوچکتر این است که همگراشدن مدل با بهینه سراسری تضمین نمی شود.

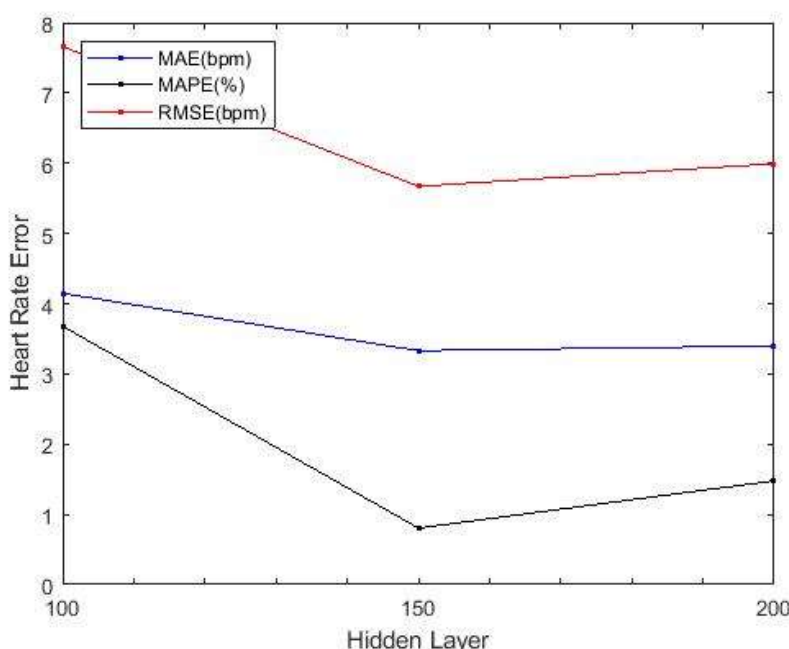
## جدول ۲. تاثیر batchsize

| lstm hidden unit=150; dropout=0.5; Fully Connected Input=150 |      |        |        |        |
|--|------|--------|--------|--------|
| Batch  | Time | RMSE   | MAE    | MAPE   |
| 10   | --   | 5.8414 | 3.7765 | 2.0546 |
| 20   | --   | 6.4476 | 3.9983 | 3.1355 |
| 30   | --   | 6.0950 | 3.6885 | 2.1005 |
| 40   | 1353 | 6.0883 | 3.8904 | 2.6858 |
| 50   | 1182 | 6.6260 | 4.1024 | 3.0073 |
| 60   | 1100 | 7.1845 | 4.1846 | 2.5557 |
| 70   | 1042 | 7.1839 | 4.6266 | 4.1542 |
| 80   | 1289 | 7.5516 | 4.8430 | 4.0672 |
| 90   | 880  | 8.8961 | 6.1485 | 5.6945 |
| 100  | 949  | 6.3461 | 3.8753 | 1.4623 |

به دلیل اینکه کمترین میزان خطای شبکه در BatchSize=10 روی داده است، این مقدار را برای مراحل بعدی ۱۰ درنظر می گیریم.

## ۲-۶ سناریوی دوم: تاثیر افزایش لایه های پنهان لایه Lstm

در این آزمایش بجز تعداد لایه های پنهان بقیه موارد ثابت درنظر گرفته شده اند.



شکل ۸. تاثیر لایه پنهان

این نمودار شبیه نزولی دارد ولی به صورت کلی افزایش مقدار لایه‌ها منجر به خطای بیشتر می‌شود. افزایش لایه‌های پنهان بیش از تعداد کافی باعث کاهش دقت در مجموعه تست می‌شود چون باعث می‌شود شبکه با مجموعه آموخته مطابقت داشته باشد اما نمی‌تواند به داده‌های جدید تعیین یابد.

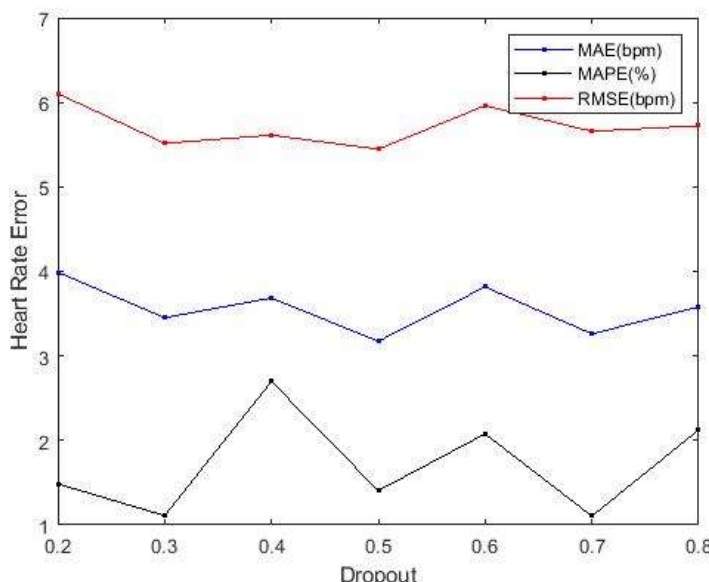
**جدول ۳: تأثیر لایه پنهان**

| lstm batch=10; dropout=0.5; |      |        |        |        |
|-----------------------------|------|--------|--------|--------|
| Hidden                      | Time | RMSE   | MAE    | MAPE   |
| 100                         | ---  | 7.6604 | 4.1481 | 3.6793 |
| 150                         | ---  | 5.6705 | 3.3309 | 0.8053 |
| 200                         | ---  | 5.9937 | 3.3997 | 1.4784 |

با توجه به نتایج به دست آمده تعداد لایه‌های پنهان برای بقیه مراحل ۱۵۰ در نظر گرفته می‌شود.

### ۳-۶ سناریوی سوم: تأثیر افزایش dropout

در این مرحله فقط dropout را تغییر می‌دهیم و به سایر پارامترها کاری نداریم.



**شکل ۹. تأثیر dropout**

همانطور که در شکل ۹ پیداست با افزایش dropout تا ۰/۵ خطای کاهش داشته اما به دلیل overfitting بعد از مقدار ۰/۵ مجدداً افزایش خطای خواهیم داشت. این بدان معنی است که در مقدار ۰/۵ بالاترین واریانس را برای این توزیع داشته‌ایم.

Dropout با حذف احتمالی یا رها کردن ورودی‌های یک لایه کار می‌کند که ممکن است متغیرهای ورودی در نمونه داده یا فعال‌سازی‌های یک لایه قبلی باشد. این اثر شبیه‌سازی تعداد زیادی از شبکه‌ها با ساختار شبکه بسیار متفاوت است و به نوبه خود باعث می‌شود که گره‌های شبکه به طور کلی ورودی‌های بیشتری داشته باشند. به صورت تجربی مقدار خوب برای dropout در یک لایه مخفی بین ۰/۵ تا ۰/۸ است.

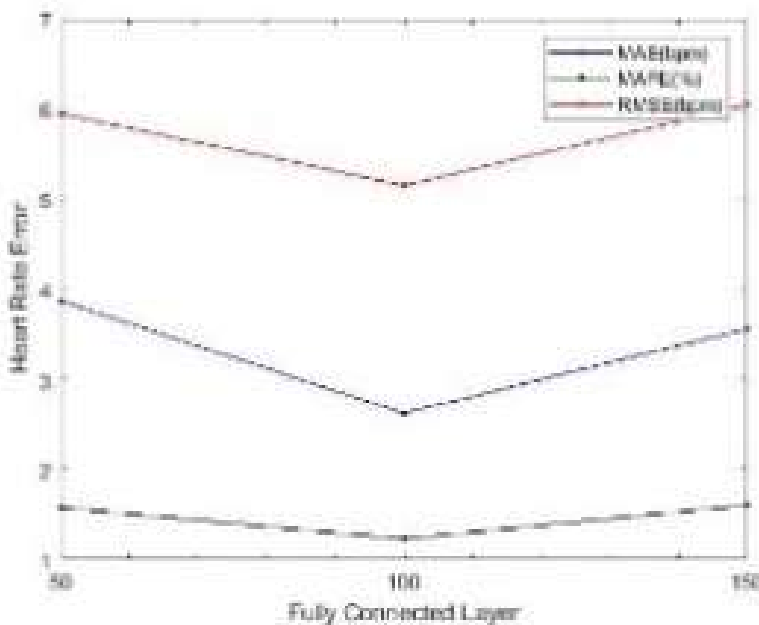
#### جدول ۴. تاثیر dropout

| lstm batch=10; lstm hidden unit=150; Fully Connected Input=150 |      |        |        |        |
|--|------|--------|--------|--------|
| Dropout  | Time | RMSE   | MAE    | MAPE   |
| •/۲  | ---  | 6.1048 | 3.9898 | 1.4867 |
| •/۳  | ---  | 5.5148 | 3.4520 | 1.1101 |
| •/۴  | ---  | 5.6118 | 3.6856 | 2.6985 |
| •/۵  | ---  | 5.4459 | 3.1728 | 1.4051 |
| •/۶  | ---  | 5.9611 | 3.8165 | 2.0784 |
| •/۷  | ---  | 5.6573 | 3.2605 | 1.1050 |
| •/۸  | ---  | 5.7242 | 3.5815 | 2.1259 |

با توجه به نتایج، مقدار ۰/۵ را برای dropout در نظر می‌گیریم.

#### ۴-۶) سناریوی چهارم: تاثیر افزایش تعداد لایه خروجی لایه FullyConnected

در این سناریو، تاثیر افزایش تعداد لایه‌های خروجی لایه FullyConnected را بررسی می‌کنیم.



شکل ۱۰. تاثیر لایه‌های fullyconnected

با توجه به شکل ۱۰؛ نمودار تا مقدار ۱۰۰ شبیب نزولی داشته است ولی به دلیل overfitting بعد از این مقدار شاهد افزایش خطای می‌باشیم. افرودن یک لایه کاملا متصل (Fully-Connected layer) معمولا راهی ارزان برای یادگیری ترکیب‌های غیرخطی سطح بالای ویژگی‌هاست. این اتصال کامل باعث اتلاف بوده و تعداد بسیار زیاد پارامترها به سرعت باعث overfitting خواهد شد.

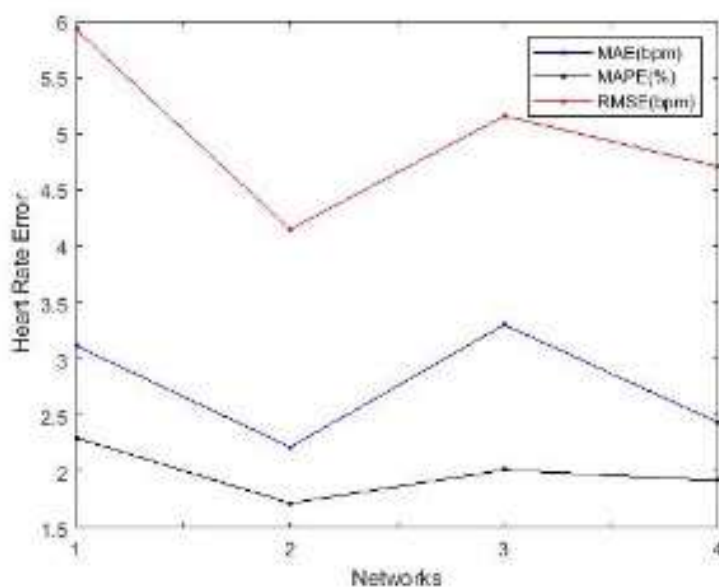
### جدول ۵. تأثیر لایه‌های fullyconnected

| lstm batch=10; dropout=0.5; lstm hidden unit=150; |      |        |        |        |
|---|------|--------|--------|--------|
| Fully   | Time | RMSE   | MAE    | MAPE   |
| 50  | ---  | 5.9462 | 3.8681 | 1.5722 |
| 100   | ---  | 5.1508 | 2.6217 | 1.2283 |
| 150   | ---  | 6.0394 | 3.5595 | 1.5980 |

همانطور که از نتایج مشخص می‌باشد، تعداد لایه خروجی لایه FullyConnected مناسب برای پژوهش ما ۱۰۰ می باشد.

### ۵-۶) سناریوی پنجم: تأثیر افزایش لایه‌های متواالی Lstm

در این سناریو تعداد لایه‌های Lstm را تغییر می‌دهیم.



شکل ۱۱. تأثیر لایه lstm

با توجه به شکل ۱۱؛ با افزایش تعداد لایه lstm خطای کاهش می‌باید ولی با بیش از ۳ لایه به دلیل overfitting عملاً بهبودی در پیش‌بینی و کاهش خطای نداریم.

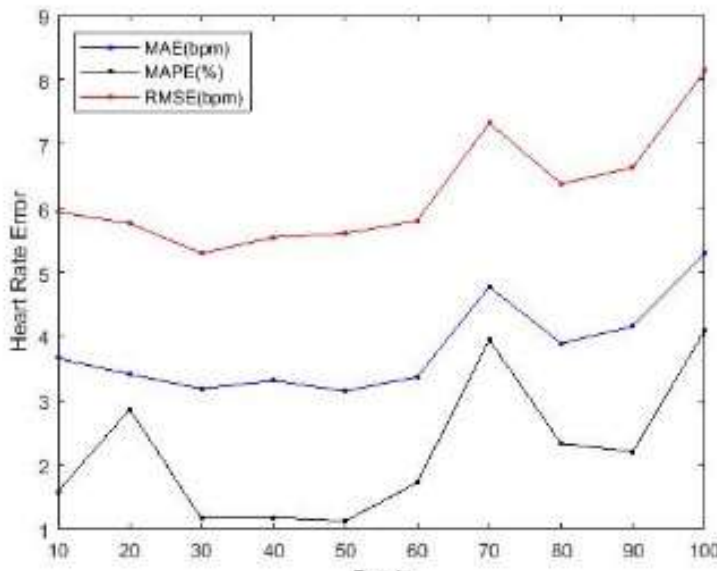
### جدول ۶. تأثیر لایه lstm

| lstm batch=10; dropout=0.5; |      |        |        |        |
|-----------------------------|------|--------|--------|--------|
| lstm                        | Time | RMSE   | MAE    | MAPE   |
| 1) 150                      | ---  | 5.9215 | 3.1185 | 2.2992 |
| 2) 150-120                  | ---  | 4.1495 | 2.2157 | 1.7192 |
| 3) 250-200-150              | ---  | 5.1566 | 3.3030 | 2.0147 |
| 4) 200-175-150              | ---  | 4.7058 | 2.4341 | 1.9199 |

نتایج نشان‌دهنده این می‌باشند که با افزایش تعداد لایه متواالی lstm، بهبودی در خطای شبکه اتفاق نمی‌افتد و بهترین ساختار، استفاده از دو لایه lstm با ۱۵۰ و ۱۲۰ لایه پنهان می‌باشد. با توجه به اینکه نمودارها روند مشخصی را طی نمی‌کنند بار دیگر سناریوها را با بهم ریختن ترتیب ورود داده انجام می‌دهیم.

#### ۶-۶) سناریوی ششم: تأثیر افزایش BatchSize

در این مرحله، پارامترهای شبکه بجز BatchSize ثابت درنظر گرفته شده‌اند. همانطور که در شکل ۱۲ مشخص است، کمترین خطای مربوط به batchsize با مقدار ۳۰ است. همچنین نمودار شبیع صعودی دارد و علت اوج ناگهانی در مقدار ۷۰، بسته‌بندی نامناسب داده‌ها با این مقدار می‌باشد.



شکل ۱۲ . تأثیر batchsize

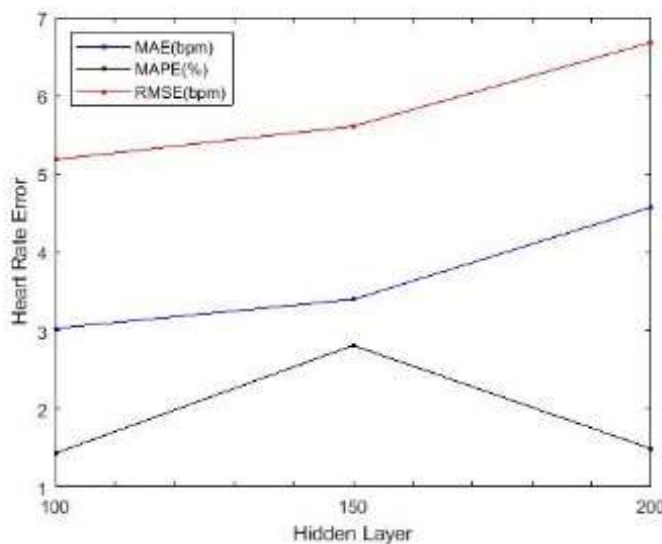
جدول ۷ . تأثیر batchsize

| lstm hidden unit=150; dropout=0.5; Fully Connected Input=50 |      |        |        |        |
|---|------|--------|--------|--------|
| Batch   | Time | RMSE   | MAE    | MAPE   |
| 10  | ---  | 5.9372 | 3.6618 | 1.5824 |
| 20  | ---  | 5.7616 | 3.4093 | 2.8656 |
| 30  | 1934 | 5.2930 | 3.1856 | 1.1638 |
| 40  | 1671 | 5.5453 | 3.3123 | 1.1809 |
| 50  | 1451 | 5.6032 | 3.1495 | 1.1269 |
| 60  | 1348 | 5.8036 | 3.3718 | 1.7232 |
| 70  | 1293 | 7.3246 | 4.7747 | 3.9467 |
| 80  | 1175 | 6.3753 | 3.8918 | 2.3320 |
| 90  | 1059 | 6.6335 | 4.1588 | 2.2066 |
| 100   | 1114 | 8.1389 | 5.3022 | 4.0988 |

به دلیل اینکه کمترین میزان خطا شبکه در BatchSize=30 اتفاق افتاد، این مقدار را برای مراحل بعدی ۳۰ درنظر می‌گیریم.

#### ۷-۶) سناریوی هفتم: تأثیر افزایش لایه‌های پنهان لایه Lstm

جز تعداد لایه‌های پنهان، سایر موارد ثابت درنظر گرفته شده‌اند.



شکل ۱۳. تأثیر لایه پنهان

این نمودار شبیه صعودی دارد و افزایش مقدار لایه‌ها منجر به خطای بیشتر می‌شود.

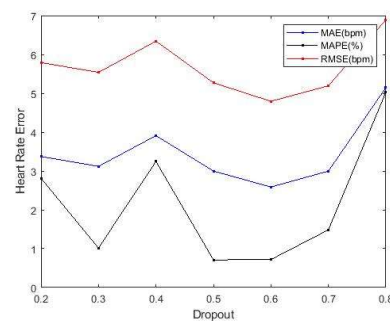
#### جدول ۸. تأثیر لایه پنهان

| lstm batch=30; dropout=0.5; |      |        |        |        |
|-----------------------------|------|--------|--------|--------|
| Hidden                      | Time | RMSE   | MAE    | MAPE   |
| 100                         | 1396 | 5.1848 | 3.0281 | 1.4296 |
| 150                         | 1948 | 5.6089 | 3.3971 | 2.8101 |
| 200                         | ---  | 6.6809 | 4.5752 | 1.4890 |

با توجه به نتایج به دست آمده تعداد لایه‌های پنهان برای بقیه مراحل، ۱۰۰ در نظر گرفته می‌شود.

#### (۸-۶) سناریوی هشتم: تأثیر افزایش dropout

در این مرحله به سایر پارامترها کاری نداریم و فقط dropout را تغییر می‌دهیم.



شکل ۱۴. تأثیر dropout

همانطور که در شکل ۱۴ پیداست، با افزایش dropout روند مشخصی نداریم ولی کمترین مقدار خطأ، در مقدار ۰/۶

است.

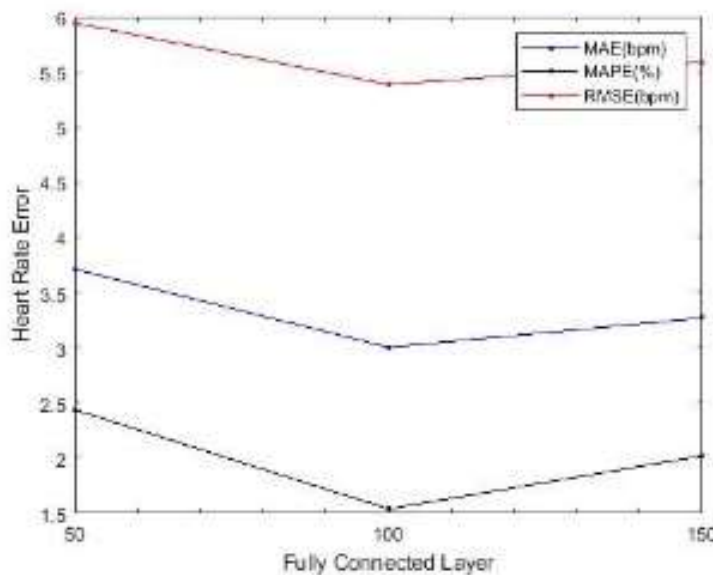
### جدول ۹. تاثیر dropout

| lstm batch=30; lstm hidden unit=100; Fully Connected Input=50 |      |        |        |        |
|---|------|--------|--------|--------|
| Dropout   | Time | RMSE   | MAE    | MAPE   |
| 0/2   | ---  | 5.7898 | 3.3733 | 2.8124 |
| 0/3   | 1368 | 5.5382 | 3.1184 | 1.0171 |
| 0/4   | ---  | 6.3425 | 3.9096 | 3.2456 |
| 0/5   | ---  | 5.2702 | 2.9983 | 0.7125 |
| 0/6   | ---  | 4.7635 | 2.5864 | 0.7192 |
| 0/7   | ---  | 5.1929 | 2.9965 | 1.4851 |
| 0/8   | ---  | 6.8902 | 5.1470 | 5.0295 |

با توجه به نتایج، مقدار dropout ۰/۶ را برای درنظر می‌گیریم.

### ۹-۶ سناریوی نهم: تاثیر افزایش تعداد لایه خروجی لایه FullyConnected

در این سناریو، با ثابت درنظر گرفتن سایر پارامترها و تغییر تعداد لایه‌های FullyConnected تاثیر افزایش تعداد لایه‌های خروجی لایه FullyConnected را بررسی می‌کنیم.



شکل ۱۵. تاثیر لایه‌های fullyconnected

با توجه به شکل ۱۵؛ نمودار تا مقدار ۱۰۰ شب نزولی داشته است ولی بهدلیل overfitting بعد از این مقدار شاهد افزایش خطأ می‌باشیم.

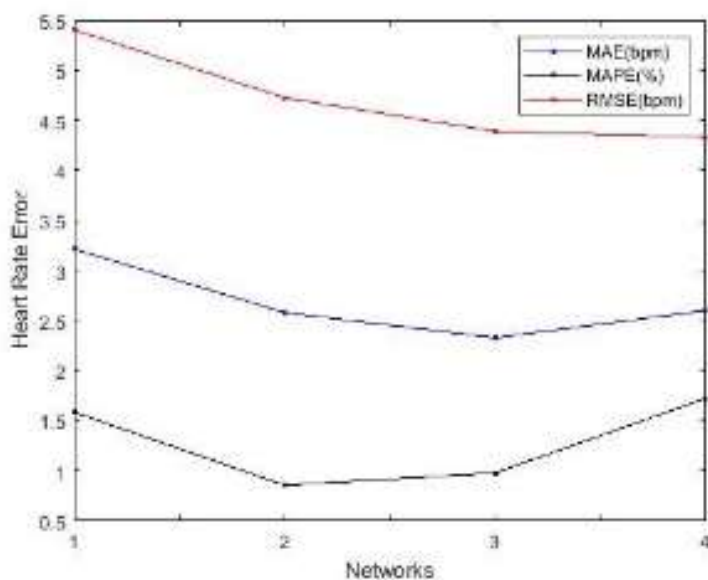
### جدول ۱۰. تاثیر لایه‌های fullyconnected

| lstm batch=30; dropout=0.6; lstm hidden unit=100; |      |        |        |        |
|---|------|--------|--------|--------|
| Fully   | Time | RMSE   | MAE    | MAPE   |
| 50  | 1369 | 5.9450 | 3.7130 | 2.4400 |
| 100   | ---  | 5.3873 | 3.0050 | 1.5403 |
| 150   | 1443 | 5.5891 | 3.2714 | 2.0206 |

با توجه به نتایج، تعداد لایه خروجی لایه FullyConnected ۱۰۰ می‌باشد.

### ۱۰-۶) سناریوی دهم: تأثیر افزایش لایه‌های متواالی Lstm

در این مرحله فقط تعداد لایه‌های Lstm را تغییر می‌دهیم.



شکل ۱۶ . تأثیر لایه LSTM

با توجه به شکل ۱۶؛ با افزایش تعداد لایه LSTM خطای کاهش می‌یابد.

### جدول ۱۱ . تأثیر لایه LSTM

| LSTM batch=30; dropout=0.6; |      |        |        |        |
|-----------------------------|------|--------|--------|--------|
| LSTM                        | Time | RMSE   | MAE    | MAPE   |
| 1) 120                      | 1603 | 5.4033 | 3.2146 | 1.5851 |
| 2) 150-120                  | ---  | 4.7258 | 2.5790 | 0.8549 |
| 3) 250-200-150              | ---  | 4.3896 | 2.3288 | 0.9783 |
| 4) 200-175-150              | ---  | 4.3323 | 2.6005 | 1.7238 |

نتایج نشان‌دهنده این می‌باشد که با افزایش تعداد لایه متواالی LSTM، خطای شبکه کاهش می‌یابد و بهترین ساختار، استفاده از سه لایه LSTM با ۲۰۰ و ۱۷۵ و ۱۵۰ لایه پنهان می‌باشد. با توجه به نتایج، بعد از تغییر در ورود داده‌ها، بهبودی در خطای صورت نگرفت ولی روند نمودارها ساختارمند شد.

## ۷) نتیجه‌گیری و پیشنهادها

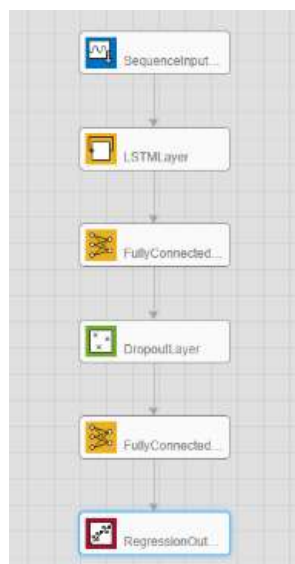
### ۱-۷) مقایسه روش پیشنهادی با شبکه عصبی و Narx (Nonlinear autoregressive)

برای مقایسه مدل پیشنهادی با شبکه عصبی، از یک شبکه عصبی ساده با ۲ لایه پنهان با ۵ نورون در هر لایه استفاده می‌کنیم. مدل پیشنهادی را با مدل شبکه عصبی غیرخطی خودکاهشی نیز مقایسه می‌کنیم که ۱۰ لایه پنهان دارد.



شکل ۱۷ . معماری نهایی

معماری نهایی مدل ما شکل ۱۷ خواهد بود که پس از سناریوهای مختلف و بررسی کمینه خطابه آن دست پیدا کردیم. مدل نهایی را با یکی از مقالات مشابه [۶۹] در زمینه پیش‌بینی مقادیر که معماری آن مطابق شکل ۱۸ می‌باشد، مقایسه می‌کنیم. این شبکه از یک لایه LSTM با تابع فعال‌ساز tanh، یک لایه Fullyconnected با تابع فعال‌ساز خطی، یک لایه Fullyconnected با مقدار ۰/۲ و یک در نهایت یک لایه Dropout با تابع فعال‌ساز ReLU تشکیل شده است. همچنین BatchSize مقدار ۱۲۸ در این مدل و مقدار epoch 100 در نظر گرفته شده است. از آنجاکه الگوریتم SGD سرعت همگرایی کندتری دارد و در همان زمان پیش‌بینی نتیجه مستعد نوسان است، بنابراین adam به عنوان بهینه‌ساز در این مقاله انتخاب شده است.



شکل ۱۸ . معماری شبکه پیش‌بینی ضربان قلب

در نهایت مدل خود را از لحاظ خطای پیش‌بینی و سرعت یادگیری و پیش‌بینی با سایر روش‌ها مقایسه می‌کنیم، نتایج مطابق جدول ۱۱-۴ می‌باشد.

**جدول ۱۲ . مقایسه مدل پیشنهادی با سایر روش‌ها**

|                   | Methods |         |           |           |                           |
|-------------------|---------|---------|-----------|-----------|---------------------------|
|                   | Narx    | NN      | Deep Sgdm | Deep Adam | Deep Adam <sup>[69]</sup> |
| RMSE              | 27.3647 | 22.3362 | 4.3295    | 6.4139    | 7.0064                    |
| TrainTime(Secs)   | 9752    | 50      | 4738      | 8383      | 616                       |
| PredictTime(Secs) |         | 8       | 32        | 34        | 5                         |

با توجه به نتایج، روش پیشنهادی ما دقیق‌تری نسبت به سایر روش‌ها دارد اما شبکه عصبی مصنوعی نیاز به زمان بسیار کمتری برای آموزش شبکه دارد.

شبکه‌های حسگر بی سیم بدن در نظارت بر سلامت و تشخیص بسیاری از بیماری‌ها کاربرد دارند. این شبکه‌ها با مشکلاتی رویه‌رو هستند. یکی از این مشکلات، از دست رفتن مقادیر می‌باشد و به دلیل اینکه این داده‌ها با سلامتی و جان انسان‌ها در ارتباط هستند، پیش‌بینی این مقادیر یک نیاز اساسی می‌باشد. تمرکز اصلی ما این بود که با استفاده از lstm کمترین خطای برای این کار را ارائه دهیم. روش پیشنهادی به طور نسبی خطای کمتری نسبت به سایر روش‌های مشابه در این حوزه دارد. با توجه به نتایج سناریوهای طراحی شده مناسب‌ترین مقدار برای batchSize، ۱۰ و تعداد لایه‌های پنهان ۵ است. اول، ۱۵۰ و تعداد لایه‌های پنهان دوم ۱۰۰ می‌باشد. همچنین میزان dropout شبکه ۰/۵ می‌باشد. روش مناسب برای پیش‌بینی مقادیر ازدست رفته استفاده از LSTM-sgdm-LSTM می‌باشد که با افزایش تعداد لایه‌ها، دقیق‌تر می‌باشد. افزایش تعداد لایه‌های پنهان، تاثیری بر سرعت پاسخگویی الگوریتم نخواهد داشت ولی باعث کاهش سرعت یادگیری و افزایش خطای نخواهد شد که در نهایت دقیق‌تر می‌باشد. با افزایش تعداد لایه‌های مدل، خطای کاهش می‌باشد و دقیق‌تر می‌باشد. همچنین تاثیری بر سرعت پاسخگویی الگوریتم نخواهد داشت ولی این افزایش باعث کاهش سرعت فرآیند یادگیری می‌شود. در مقایسه با سایر روش‌های مشابه در حوزه پیش‌بینی مقادیر، روش ما سرعت یادگیری پایینی دارد ولی در صورت تنظیم مناسب ابرپارامترهای شبکه، دقیق‌تر می‌باشد. تخمین مقادیر دارد.

## منابع

- A. B ,C. ChavanPatil و S. S. Sonawane ،"To Predict Heart Disease Risk and Medications Using Data Mining Techniques With an IoT Based Monitoring System For Post Operative Heart Disease Patients "،Sixth Post Graduate Conference for Computer Engineering (cPGCON 2017) Procedia ,2017. <https://doi.org/10.1016/j.trb.2017.04.003>
- A. B. Islam ,D. Costinett و S. K. Islam ،"Wireless Power Transfer, Recovery, and Data Telemetry for Biomedical Applications "،Handbook of Biochips,, 2017 <https://doi.org/1097/j.trb.2014.6.40>
- B. Kim ,B. Lee و J. Cho ،"ASRQ: Automatic Segment Repeat reQuest for IEEE 802.15.4-based WBAN," IEEE SENSORS JOURNAL ,2016. <https://doi.org/1071/j.trb.2004.34.125>

- B.-K. Kim ,H.-K. Song ,S.-I. Seo و Y.-H. You ،"Frame and carrier frequency synchronization algorithm for wireless body area network." INTERNATIONAL JOURNAL OF COMMUNICATION SYSTEMS ،۲۰۱۵. <https://doi.org/1016/j.trb.2020.23.29>
- B. LIU ،Z. YAN و C. W. CHEN ،"MAC PROTOCOL IN WIRELESS BODY AREA NETWORKS FOR E-HEALTH: CHALLENGES AND A CONTEXT-AWARE DESIGN." IEEE Wireless Communications ،۲۰۱۳. <https://doi.org/1027/j.trb.2019.10.94>
- C. Lee ،Z. Luo ،K. Y. Ngiam ،M. Zhang ،K. Zheng ،G. Chen ،B. C. Ooi و W. L. J. Yip ،"Big Healthcare Data Analytics: Challenges and Applications" تألیف "Handbook of Large-Scale Distributed Computing in Smart Healthcare" ،۲۰۱۷. <https://doi.org/1014/j.trb.2007.33.102>
- D. Sakurai ،A. Santana و Y. Kawamura ،"Estimation of Missing Data of Showcase Using Artificial Neural Networks" تألیف "IEEE 10th International Workshop on Computational Intelligence and Applications" ،۲۰۱۷. <https://doi.org/1046/j.trb.2023.36.63>
- D. Sow ،D. S. Turaga و M. Schmidt ،"MINING OF SENSOR DATA IN HEALTHCARE: A SURVEY" تألیف "Managing and Mining Sensor Data" ،۲۰۱۲. <https://doi.org/1076/j.trb.2021.32.13>
- D. Yuan ،G. Zheng ،H. Ma ،J. Shang و J. Li ،"An Adaptive MAC Protocol Based on IEEE802.15.6 for Wireless Body Area Networks." Wireless Communications and Mobile Computing, 2019. <https://doi.org/1056/j.trb.2017.7.23>
- D. Yu ،L. Deng ،Deep Learning: Methods and Applications ،۲۰۱۴. <https://doi.org/1064/j.trb.2022.34.47>
- E. Cadenas ،W. Rivera ،R. Campos-Amezcua و C. Heard ،"Wind Speed Prediction Using a Univariate ARIMA Model and a Multivariate NARX Model." energies ،۲۰۱۶. <https://doi.org/1029/j.trb.2008.15.81>
- E. S. Kaur و P. B. Singh ،"A survey on Body Area Network applications and its routing issues." International Research Journal of Engineering and Technology (IRJET), 2017. <https://doi.org/1094/j.trb.2023.37.44>
- F. Hu ،X. Liu ،M. Shao ،D. Sui و L. Wang ،"Wireless Energy and Information Transfer in WBAN: An Overview." IEEE Network ،۲۰۱۷. <https://doi.org/1035/j.trb.2009.6.59>
- F. Lia ،G. Renb و J. Lee ،"Multi-step wind speed prediction based on turbulence intensity and hybrid deep neural networks." Energy Conversion and Management ،۲۰۱۹. <https://doi.org/1034/j.trb.2021.14.45>
- F. Rundo ،"Deep LSTM with Reinforcement Learning Layer for Financial Trend Prediction in FX High Frequency Trading Systems." Applied Sciences, 2019. <https://doi.org/1032/j.trb.2021.15.125>
- F. V. Nelwamondo ،Computational Intelligence Techniques for Missing Data Imputation, 2008. <https://doi.org/1022/j.trb.2014.19.66>
- G. Huang ،Y. Zhang ،J. Cao ،M. Steyn و K. Taraporewalla ،"Online mining abnormal period patterns from multiple medical sensor data streams." World Wide Web ،۲۰۱۳. <https://doi.org/1066/j.trb.2018.13.87>
- G. Mohammad ،B. Janko ،R. S. Sherratt ،W. Harwin و R. Piechockie و C. Soltanpur ،"A Survey on Wireless Body Area Networks for eHealthcare Systems in Residential Environments." sensors ،۲۰۱۶. <https://doi.org/1086/j.trb.2012.13.69>
- H. Arora ،R. S. Sherratt ،B. Janko و W. Harwin ،"Experimental validation of the recovery effect in batteries for wearable sensors and healthcare devices discovering the existence of hidden time constants." Institution of Engineering and Technology ،۲۰۱۷. <https://doi.org/1098/j.trb.2005.8.16>
- H. Cheng ،Z. Xie ،L. Wu ،Z. Yu و R. Li ،"Data prediction model in wireless sensor networks based on bidirectional LSTM." Wireless Communications and Networking ،۲۰۱۹. <https://doi.org/1064/j.trb.2020.26.134>

- H. M. Rai و K. Chatterjee ، "A unique Feature Extraction using MRDWT for Automatic Classification of Abnormal Heartbeat from ECG Big Data with Multilayered Probabilistic Neural Network Classifier," Applied Soft Computing ,2018. <https://doi.org/1036/j.trb.2021.21.91>
- I. Ha ، "Technologies and Research Trends in Wireless Body Area Networks for Healthcare: A Systematic Literature Review," International Journal of Distributed Sensor Networks ۲۰۱۵ . <https://doi.org/1017/j.trb.2008.22.8>
- J. Camilo J. Felipe و Natalia ، "Energy consumption and quality of service in WBAN: A performance evaluation between cross-layer and IEEE802.15.4." Revista DYNA ۲۰۱۷ . J. I. Bangash و A. H. Abdullah و M. H. Anisi و A. W. Khan ، "A Survey of Routing Protocols in Wireless Body Sensor Networks," Sensors ۲۰۱۴ . <https://doi.org/1068/j.trb.2005.5.104>
- J. Chen و G.-Q. Zeng و W. Zhou و W. Du و K.-D. Lu ، "Wind speed forecasting using nonlinear-learning ensemble of deep learning time series prediction and extremal optimization," Energy Conversion and Management ۲۰۱۸ . <https://doi.org/1034/j.trb.2006.24.77>
- J. Q. Lin و H. C. Wu و S. C. Chan ، "A New Regularized Recursive Dynamic Factor Analysis with Variable Forgetting Factor for Wireless Sensor Networks with Missing Data ۲۰۱۷ ، تألف IEEE International Symposium on Circuits and Systems (ISCAS) ۲۰۱۷ . <https://doi.org/1030/j.trb.2011.21.80>
- J. Pagán ، "Robust and Accurate Modeling Approaches for Migraine Per-Patient Prediction from Ambulatory Data." 2015. <https://doi.org/1024/j.trb.2012.24.95>
- K. C. Shekar و K. R. Kanth و K. S. Kanth ، "Improved Algorithm for Prediction of Heart Disease Using Case based Reasoning Technique on Non-Binary Datasets," International Journal of Research in Computer and Communication technology ، ۲۰۱۲. <https://doi.org/1054/j.trb.2012.12.120>
- K. W. Minmin Luo ، "Heart rate prediction model based on neural network ۲۰۱۷ ، تألف IOP Conference Series: Materials Science and Engineering ۱۰۱ ، <https://doi.org/1027/j.trb.2002.25.9>
- K. Yan و X. Wang و Y. Du و N. Jin و H. Huang و H. Zhou ، "Multi-Step Short-Term Power Consumption Forecasting with a Hybrid Deep Learning Strategy." energies ۲۰۱۸ . <https://doi.org/1032/j.trb.2007.26.67>
- L. Pan ، J. Li ، "K-Nearest Neighbor Based Missing Data Estimation Algorithm." pp. 115-122 ۲۰۱۰ . <https://doi.org/1060/j.trb.2015.35.73>
- L. Zhao و F. Zheng ، "Missing Data Reconstruction Using Adaptively Updated Dictionary in Wireless Sensor Networks ۲۰۱۷ ، تألف Proceeding of science ۲۰۱۷ . <https://doi.org/1023/j.trb.2006.22.76>
- M. K. M. Rabby و M. S. Alam و S. A. Shawkat و M. A. Hoque ، "A Scheduling Scheme for Efficient Wireless Charging of Sensor Nodes in WBAN ۲۰۱۷ ، تألف IEEE/ACM International Conference on Connected Health: Applications, Systems and Engineering Technologies (CHASE) ۲۰۱۷ . <https://doi.org/1061/j.trb.2012.35.138>
- M. Salayma و A. Al-Dubai و I. Romdhani و Y. Nasser ، "Wireless Body Area Network (WBAN): A Survey on Reliability, Fault Tolerance, and Technologies Coexistence." ACM Computing Surveys ۲۰۱۷ . <https://doi.org/1069/j.trb.2004.25.85>
- M. S. Saha و D. D. K. Anvekar ، "Mitigation of Single Point Failure and Successful Data Recovery in Wireless Body Area Network." International Journal of Network Infrastructure Security ۲۰۱۷ . <https://doi.org/1091/j.trb.2011.13.36>
- O. Salem و A. Serhrouchni و A. Mehaoua و R. Boutaba ، "Event Detection in Wireless Body Area Networks using Kalman Filter and Power Divergence." IEEE Transactions on Network and Service Management ۲۰۱۸ . <https://doi.org/1045/j.trb.2005.8.42>

- Q. Zhen و T. Zhang "A Missing Data Estimation Algorithm in Wireless Sensor Networks." *Boletín Técnico* ۲۰۱۷ . <https://doi.org/1026/j.trb.2002.21.67>
- R. Kumar و D. Chaurasia و N. Chuahan و N. Chand "Predicting Missing Values in Wireless Sensor Network using Spatial-Temporal Correlation." *International Journal of Computer Networks and Wireless Communications (IJCNWC)* ۲۰۱۷ . <https://doi.org/1074/j.trb.2021.8.25>
- R. Zhang و Z. Chen و S. Chen و J. Zheng و O. Büyüköztürk و H. Sun "Deep long short-term memory networks for nonlinear structural seismic response prediction." *Computers and Structures* ۲۰۱۹ . <https://doi.org/1055/j.trb.2003.27.101>
- S. Ghazal و M. Sauthier و D. Brossier و W. Bouachir و P. Jouvet و R. Noumeir "Using machine learning models to predict oxygen saturation following ventilator support adjustment in critically ill children: a single center pilot study." *PLoS ONE* ۲۰۱۹. <https://doi.org/1059/j.trb.2005.35.100>
- S. M. Demir و F. Al-Turjman و A. Muhtaroğlu "Energy Scavenging Methods for WBAN." *IEEE Sensors Journal* ۲۰۱۸ . <https://doi.org/1032/j.trb.2012.10.123>
- S. Mujeeb و N. Javaid و M. Ilahi و Z. Wadud و F. Ishmanov و M. K. Afzal "Deep Long Short-Term Memory: A New Price and Load Forecasting Scheme for Big Data in Smart Cities." *sustainability* ۲۰۱۹ . <https://doi.org/1057/j.trb.2002.20.96>
- S. u. Islam و G. Ahmed و M. Shahid و N. Hassan و M. Riaz و H. Jan و A. Shakeel "Implanted Wireless Body Area Networks: Energy Management, Specific Absorption Rate and Safety Aspects." *Ambient Assisted Living and Enhanced Living Environments* ۲۰۱۷ . <https://doi.org/1098/j.trb.2007.17.75>
- S. Zhang و Y. Yang و J. Xiao و X. Liu و Y. Yang و D. Xie و Y. Zhuang "Fusing Geometric Features for Skeleton-Based Action Recognition using Multilayer LSTM Networks." *IEEE TRANSACTIONS ON MULTIMEDIA* ۲۰۱۵ . <https://doi.org/1035/j.trb.2008.28.77>
- S. Zhao و Y. Zhang و S. Wang و B. Zhou و C. Cheng "A recurrent neural network approach for remaining useful life prediction utilizing a novel trend features construction method." *Measurement* ۲۰۱۹ . <https://doi.org/1077/j.trb.2010.12.25>
- T. Shu و J. Chen و V. K. Bhargava و C. W. d. Silva "An Energy-Efficient Dual Prediction Scheme Using LMS filter and LSTM in Wireless Sensor Networks for Environment Monitoring." *IEEE Internet of Things Journal* ۲۰۱۹ . <https://doi.org/1065/j.trb.2004.34.135>
- T. Zhang و S. Song و S. Li و L. Ma و S. Pan و L. Han "Research on Gas Concentration Prediction Models Based on LSTM Multidimensional Time Series." *Energies* ۲۰۱۹ . <https://doi.org/1039/j.trb.2021.5.53>
- V. Bhanumathi و C. P. Sangeetha "A guide for the selection of routing protocols in WBAN for healthcare applications." *Human-centric Computing and Information Sciences* ۲۰۱۷ . <https://doi.org/1018/j.trb.2014.16.94>
- T. Kuremoto و S. Kimura و K. Kobayashi و M. Obayashi "Time series forecasting using a deep belief network with restricted Boltzmann machines." *Neurocomputing* ۲۰۱۳ . <https://doi.org/1065/j.trb.2013.29.138>
- V. Abdolzadeh و N. Petra "Efficient Implementation of Recurrent Neural Network." *author Applications in Electronics Pervading Industry, Environment and Society* ۲۰۱۸ . <https://doi.org/1083/j.trb.2019.9.32>
- W. Bao و J. Yue و Y. Rao "A deep learning framework for financial time series using stacked autoencoders and long-short term memory." *PLoS ONE* ۲۰۱۷ . <https://doi.org/1012/j.trb.2020.23.79>
- X. Yang و S. Mao و H. Gao و Y. Duan و Q. Zou "Novel Financial Capital Flow Forecast Framework Using Time Series Theory and Deep Learning: A Case Study Analysis of Yu'e Bao Transaction Data." *IEEE Access* ۲۰۱۹ . <https://doi.org/1028/j.trb.2006.13.7>

- Y. Cheng, Y. Ye, M. Hou, W. He, Y. Li و X. Deng, "A Fast and Robust Non-Sparse Signal Recovery Algorithm for Wearable ECG Telemonitoring Using ADMM-Based Block Sparse Bayesian Learning," *sensors* ۲۰۱۸، <https://doi.org/1087/j.trb.2006.17.22>
- Y. Kawamura, K. Murakami, A. Santana, T. Iizaka و T. Matsui, "Differential Evolutionary Particle Swarm Optimization based ANN Training for Estimation of Missing Data of Refrigerated Showcase," author 57th Annual Conference of the Society of Instrument and Control Engineers of Japan (SICE) ۲۰۱۸، <https://doi.org/1073/j.trb.2002.20.120>
- Y. Li, H. Wu و H. Liu, "Multi-step wind speed forecasting using EWT decomposition, LSTM principal computing, RELM subordinate computing and IEWT reconstruction," *Energy Conversion and Management* ۲۰۱۸، <https://doi.org/1023/j.trb.2004.24.18>
- Y. Lv, Y. Duan, W. Kang, Z. Li و F.-Y. Wang, "Traffic Flow Prediction With Big Data: A Deep Learning Approach," *IEEE TRANSACTIONS ON INTELLIGENT TRANSPORTATION SYSTEMS* ۲۰۱۴، <https://doi.org/1048/j.trb.2023.7.51>
- Y. Qu, G. Zheng, H. Ma, X. Wang, B. Ji و H. Wu, "A Survey of Routing Protocols in WBAN for Healthcare Applications," *sensors* ۲۰۱۹، <https://doi.org/1092/j.trb.2008.36.112>
- Y. Tian, K. Zhang, J. Li, X. Lin و B. Yang, "LSTM-based Traffic Flow Prediction with Missing Data," *Neurocomputing*, ۲۰۱۸، <https://doi.org/1081/j.trb.2016.27.58>
- Z. Gao, W. Cheng, X. Qiu و L. Meng, "A Missing Sensor Data Estimation Algorithm Based on," 2015, <https://doi.org/1097/j.trb.2009.27.12>
- Available: <https://www.mathworks.com/content/dam/mathworks/tag-team/Objects/p/preprocessing-time-series-data-tips-and-tricks.pdf>, <https://doi.org/1085/j.trb.2015.23.107>
- Available: <https://www.mathworks.com/campaigns/offers/deep-learning-with-matlab.html?elqCampaignId=10588>, <https://doi.org/1034/j.trb.2005.26.137>
- Available: <https://www.mathworks.com/campaigns/offers/deep-learning-examples-with-matlab.html?elqCampaignId=10588>, <https://doi.org/1045/j.trb.2015.17.26>
- Available: [http://lab.fs.uni-lj.si/lasin/wp/IMIT\\_files/neural/NN-examples.pdf](http://lab.fs.uni-lj.si/lasin/wp/IMIT_files/neural/NN-examples.pdf), <https://doi.org/1047/j.trb.2022.12.89>
- Available: <http://www.heatonresearch.com/node/707>, <https://doi.org/1012/j.trb.2020.34.33>
- ا. ابراهیمی، م. شمسی و م. محجل، برآورد داده‌های ازدست رفته علائم حیاتی در شبکه‌های حسگر بی‌سیم بدن، ششمین کنفرانس ملی پژوهش‌های کاربردی در مهندسی برق، مکانیک و مکاترونیک، تهران، ۱۳۹۹.
- ف. کیم، یادگیری عمیق در MATLAB، نیاز داش، ۱۳۹۶.
- ف. کیم، یادگیری عمیق با یادگیری ماشین و شبکه‌های عصبی، انتشارات دانشگاهی کیان، ۱۳۹۶.
- غ. لطیف شبگاهی، س. زعفرانچی و ک. اصلان صفت، "شبکه‌های حسگر بی‌سیم و کاربرد آنها در صنایع دریایی: توپولوژی ها، چالش‌ها و پیشنهادات،" در شانزدهمین همایش صنایع دریایی، ۱۳۹۳.
- م. فرنقی و ه. رحیمی، "پیش‌بینی مکانی-زمانی بارش ماهانه با استفاده از شبکه‌ی باور عمیق (مورد مطالعاتی: منطقه شمال غرب ایران)،" *فصلنامه علوم و فنون نقشه برداری*, ۱۳۹۶.
- م. مشیری، م. قادری زفرهایی و ف. قانع گل محمدی، " مقایسه دقت الگوریتم‌های یادگیری ماشین در تخمین داده‌های گمشده حاصل از آزمایش‌های ریزآرایه DNA،" *محله پژوهش‌های سلولی و مولکولی (محله زیست‌شناسی ایران)*, ۱۳۹۴.